

二次流を伴う流れの「バースティング」特性について

京都大学工学部 正員 中川博次
 京都大学工学部 正員 富永晃宏

京都大学工学部 正員 杯澤家入
 京都大学大学院 学生員 若井 健

1. まえがき

著者は開水路流れにおいて Sand ridge を模した稜型突起を横断方向に水深の2倍間隔で配列することによ、2、突起部で上昇、溝部で下降する安定な2次流が形成されることを示した¹⁾。この時の乱流構造は横断方向に変化し、上昇部で低速かつ乱れ大、下降部で高速かつ乱れ小となることを示されたが、壁面乱流における乱れ発生に大部分に寄与するバースティングの構造を検討することも必要と考えられる。ここでは、Wallace³⁾のと同じパターン認識法²⁾及びu-v平面の四象限区分法によ、これを調べた。

2. 実験結果と考察

実験は、水深4cm、レイノルズ数1200で行い、サンプリング周波数は400Hzで処理時間は50秒である。詳しい結果は文献1)を参照されたい。図-1はレイノルズ応力 $-\overline{uv}$ のコンターであり、図中の矢印は2次流の回転向きを表す。2次元乱流と異なり横断方向に大きく変化し、上昇部で大きく、下降部で小さくなり、特に下降部の水面付近で $-\overline{uv} < 0$ の領域が広範囲に現われているのが注目される。 $z/h = 0$ では、 $y/h = 0.6$ 付近で既に0とな、ている。このy方向の分布を示したものが図-2で、 y' 及び h' はそれぞれの底面からの高さ及び水深である。バースティングの最も著しい壁面近傍では、どれもほぼ同じ値をとるが、壁から離れるにつれて上昇部と下降部の差異が大きくなり、明らかな2次流の影響を示している。

CASE-K

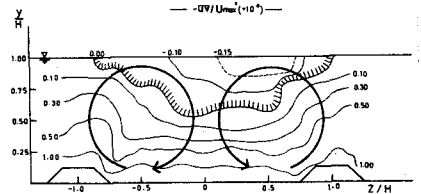


図-1; レイノルズ応力 $-\overline{uv}$ のコンター

このレイノルズ応力の内部構造を検討するためにまずWallace³⁾の行ったのと同様のパターン認識法による解析を行った。この上昇部と下降部の $y'/h' = 0.2$ のパターンを図-3に示す。前報²⁾で述べたのと同様に、上昇部に比べ下降部の方が ejection 事象に対する sweep 事象の割合が小さくなる傾向が認められる。また、下降部の水面近傍の $-\overline{uv}$ が負になる部分のパターンを図-4に示す。ここではuとvの位相が180°ずれた通常のパターンと異なり90°ずれる傾向にある。すなわち、uが正から負に移るところでvが正、uが

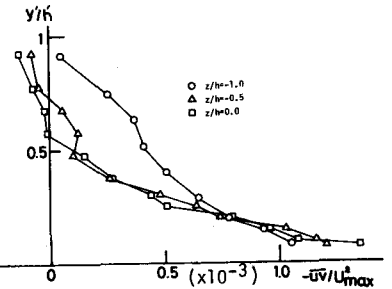


図-2; レイノルズ応力 $-\overline{uv}$ のy方向分布

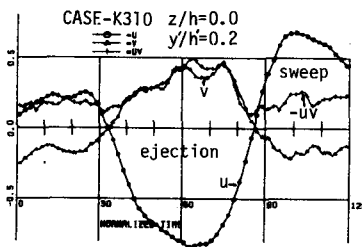
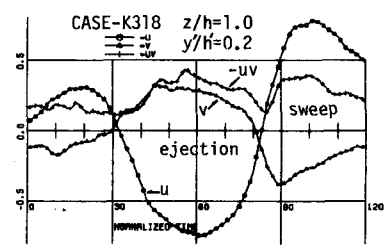


図-3 (a) 下降部のパターン



(b) 上昇部のパターン

負から正に移るところで \bar{u} が負となる。 $-\bar{u}$ が負の領域は
いずれも同様のパターンが得られた。次にこのパターン認
識法から得られたバースティング周期の横断方向分布を示し
たものが図-5である。前報と同様に y 方向には若干増加す
る傾向があるものの z 方向には系統的变化は見られず、
 $\bar{w} \cdot U_{max}/h$ は、ほぼ一定値2~3をとるとみなすことが出来る。

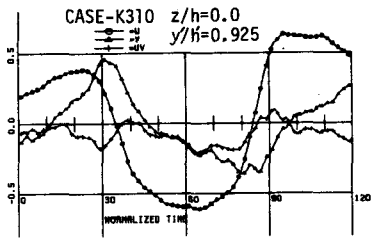


図-4: $-\bar{u} < 0$ 領域のパターン

パターン認識法による図-3では二次流の影響がそれほど
明確ではなかったため、次に瞬時の $-\bar{u}(x)$ を $u-v$ 平面
の四象限に区分し、 $|u(v)| \geq H|u|$ なるしきい値 H を設
けて平均する条件付サンプリング手法を用いた。この
条件付平均 \bar{H} に対しプロットしたものが図-6である。
ここで $RS_i (i=1,4)$ は、それぞれの象限からの寄与
率を意味し、 RS_5 は $|u| < H$ となる事象を意味し、い
ずれも $u-v$ で無次元化してある。図中の実線は中川、萩津
の理論値である。⁴⁾ RS_2 すなわち

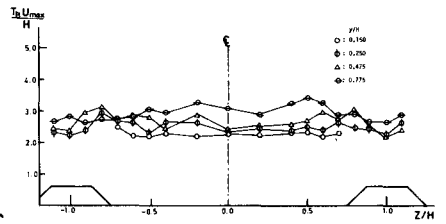


図-5: バースティング周期の z 方向分布

ejection事象からの寄与率と RS_4 す
なわちsweep事象からの寄与率を比
較すると RS_2 は下降部の方が大き
く、 RS_4 は上昇部の方が大きい。
すなわち、下降部ではejectionに対
するsweepの寄与が小さいと言える。
また下降部ではしきい値 H に対す
る寄与率の減衰が早い。しきい値
 $H=0$ の時の RS_4/RS_2 を示したものが

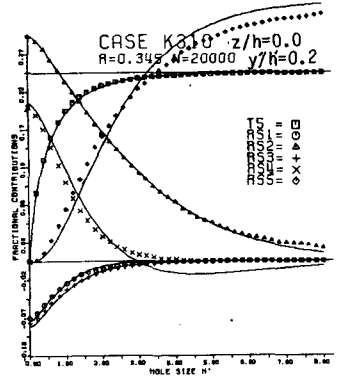
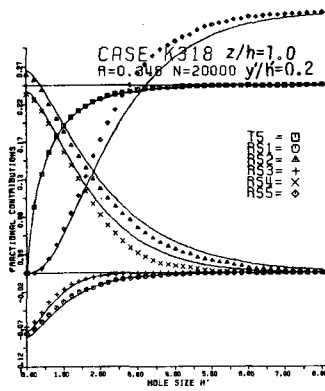


図-6 (a) 1/11Lスプレッドの構造(上昇部)

(b) 下降部

をい(ない)滑面乱流においては $RS_4/RS_2 \approx 0.7 \sim 0.8$ であるが、これ
に対して上昇部で大きく下降部で小さくなる²⁾あり、その中間で
は底面近くで下降部に近く水面に近づくにつれて上昇部の値に近
づく傾向が見られる。また中川、萩津は $RS_2(H_{0.5}) = 0.5 RS_2(H=0)$ となる
 $H_{0.5}$ をしきい値としたときのejection発生周期をバースティング周期
と定義したが⁵⁾、ここで求めると、パターン認識の結果と同じ
く、 $\bar{w} \cdot U_{max}/h = 2 \sim 3$ となり、系統的变化は見られなかった。

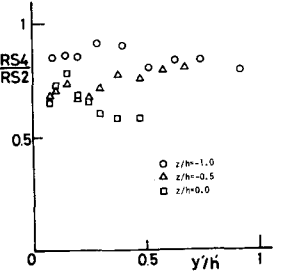


図-7 RS_4/RS_2 の y 方向分布

3. あとがき 以上から、二次流が存在する場合には、バ
ースティング周期は変化しないが、ejection事象とsweep事象からの $-\bar{u}$ への寄与率が変化す
ることが明らかになった。

<参考文献> 1) 中川、萩津、富永、大石、明西支部年誌(1982)。2) Wallace et al.; J.F.M. vol 83. (1977)
3) 富永、中川、萩津、土木学会年誌(1981)。4) Nakagawa & Nezu; J.F.M. vol 80. (1977)。5) Nakagawa & Nezu, Memos, Res. Eng. Kyoto Univ. (1977)